

# Spektroskopické metody

*Ramanova spektroskopie*

# Objev Ramanova jevu

Sir Chandrasekhara Venkata **Raman**

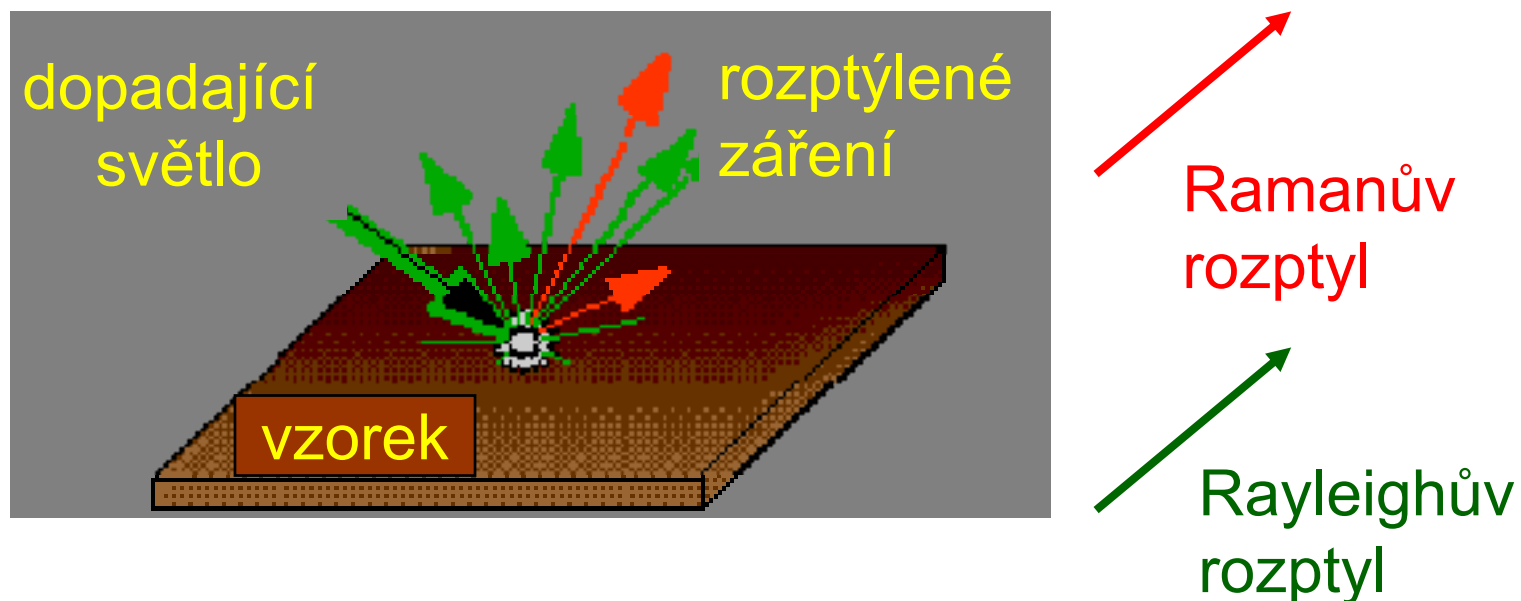
spolu s K.S. Krisnanem v roce 1928 v Kalkatě v Indii a nezávisle také v roce 1928 G. Landsberg a L. Mandelstam v Moskvě poprvé prokázali existenci spontánního nepružného rozptylu světla



**C. V. Raman získal v roce 1930 za tento objev  
Nobelovu cenu za fyziku**

*(zdroj světla sluneční záření+monochromatický filtr a lidské oko jako detektor)*

# Ramanův jev



- rozptýlené záření zahrnuje:
  - fotony **stejné energie** (frekvence, vlnové délky, vlnočtu) jako mělo dopadající záření (pružný rozptyl, **Rayleighův rozptyl**)
  - fotony (emitované) **s jinou energií** (frekvencí, vlnovou délkou, vlnočtem) než mělo dopadající záření (nepružný rozptyl, **Ramanův rozptyl**; asi 1 foton z  $10^7$  dopadajících)

# Princip vzniku spontánního Ramanova jevu

## Ramanův rozptyl:

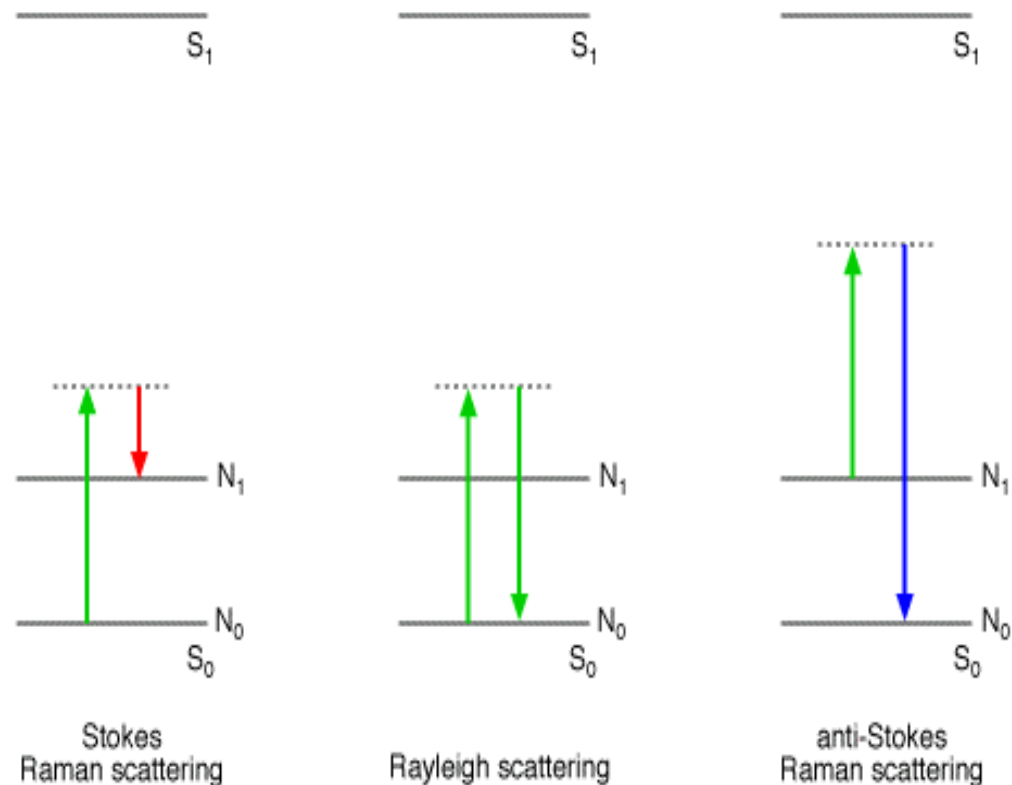
$$h\nu_0 + E_1 = h\nu_1 + E_2$$

$\nu_0$  – frekvence dopadajícího záření,

$\nu_1$  – frekvence rozptýleného záření

$E_1$  – počáteční hladina energie

$E_2$  – konečná hladina energie



$$E = E_2 - E_1 = h\nu_0 - h\nu_1 = + h\Delta\nu \quad \text{Stokesova linie}$$

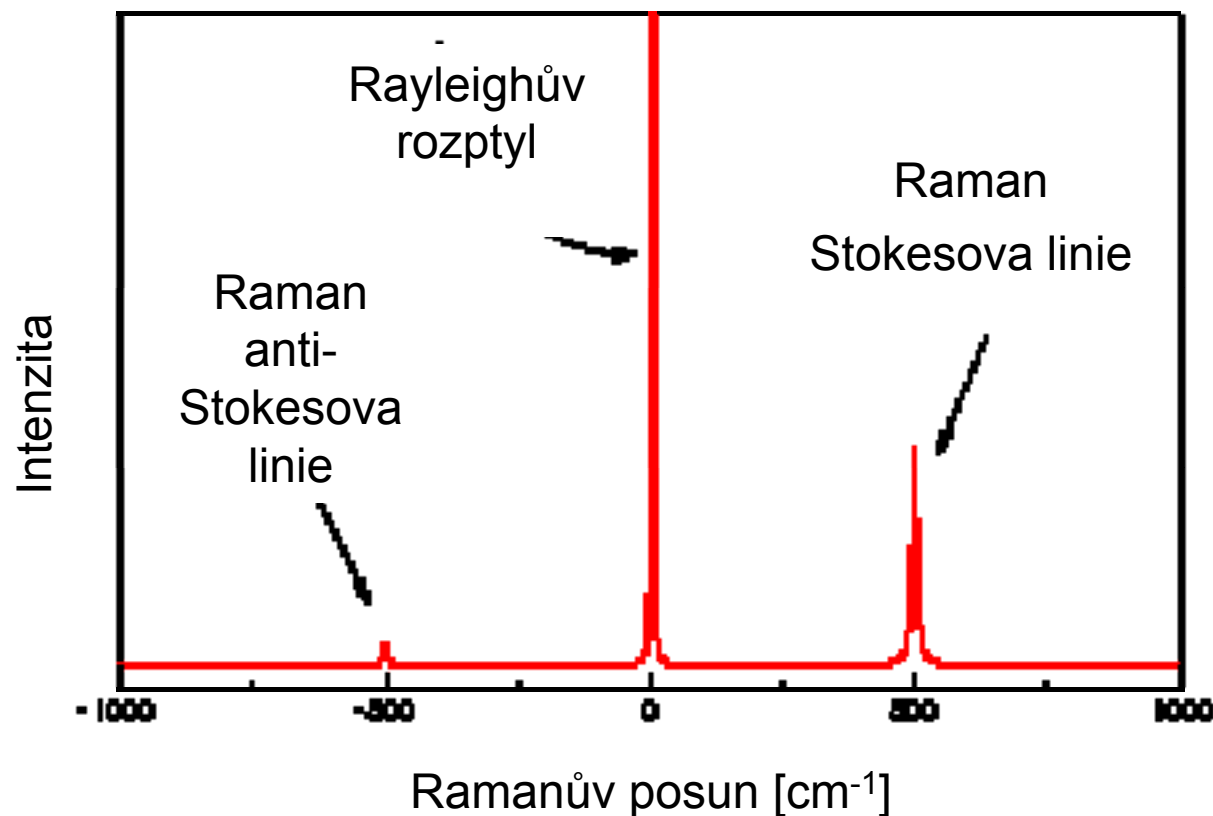
$$- h\Delta\nu \quad \text{anti-Stokesova linie}$$

$\Delta\nu$  – Ramanův posun,  $h\Delta\nu$  – vibrační energie

# Ramanovy linie

Stokesovy a anti-Stokesovy linie jsou rozloženy symetricky vzhledem k linii Rayleighově. Rayleighova je výrazně (až  $10^5$ krát) intenzivnější. Obvykle se pozorují jen Stokesovy čáry.

Poměr intenzit anti- a Stokesových linií je při všech vibračních frekvencích mírou teploty  $\Rightarrow$  možnost bezkontaktního měření teploty vzorku



# Ramanovo spektrum

- je závislost intenzity rozptýleného záření na Ramanově posunu (ve vlnočtech)
- velikost posunu **nezávisí na vlnové délce dopadajícího světla**, ale jen na poloze vibračních (rotačních) hladin (tak lze odlišit fluorescenci a Ramanův rozptyl)
- **intenzita** Ramanovy linie S je úměrná  $\lambda^{-4}$  a  $(\delta\alpha/\delta x)^2$
- intenzita spontánního Ramanova rozptylu představuje asi  $10^{-8}$  intenzity dopadajícího záření
- **intenzita anti-Stokesovy linie** je vždy výrazně **slabší než** intenzita **Stokesovy linie**

# Intenzita Ramanovy linie

[počet fotonů za 1 s vyzářených do prostoru 1 steradiánu]

$$S = K P_D \left( \frac{d\sigma}{d\Omega} \right)_\theta D_n$$

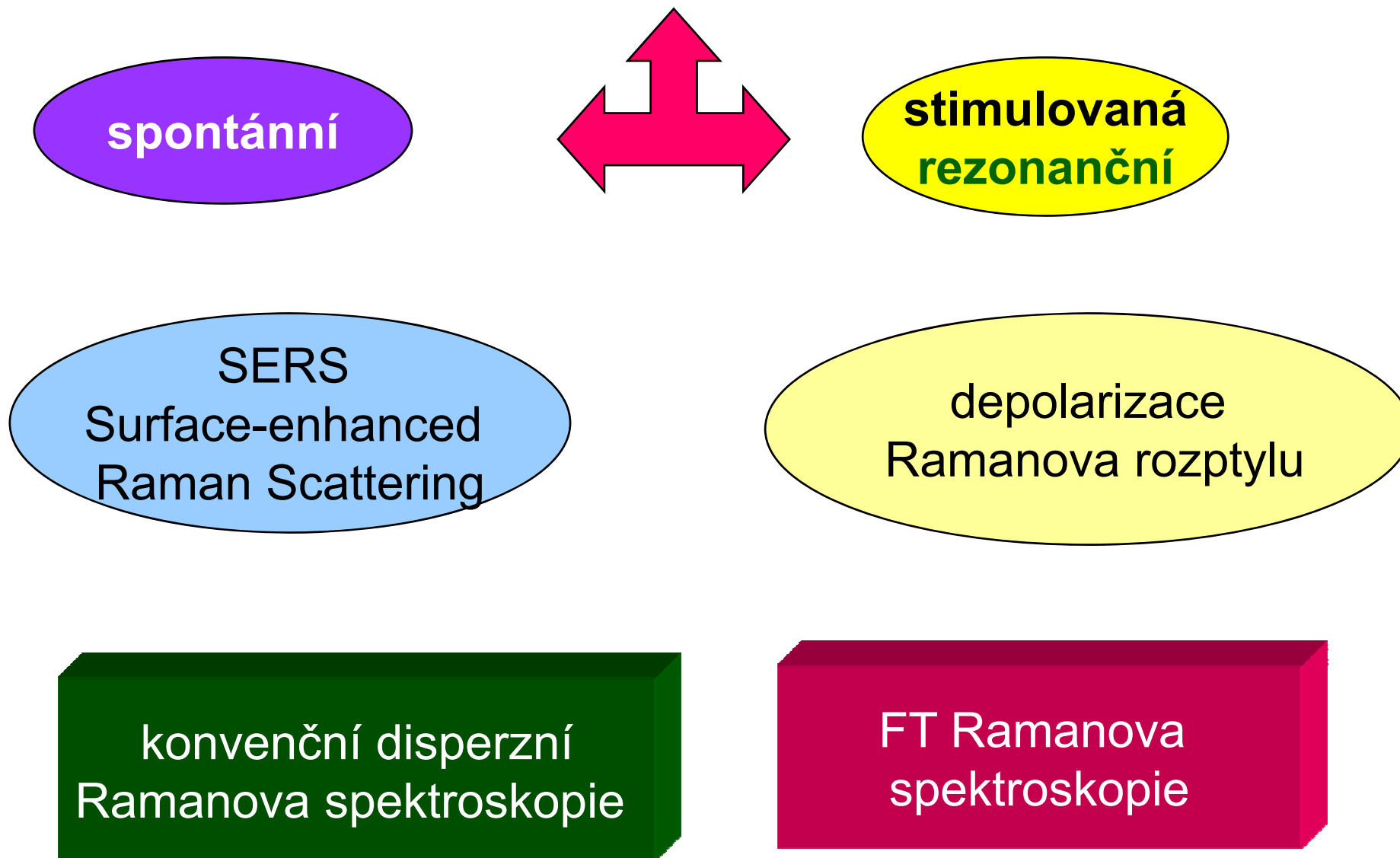
hustota (počet molekul/cm<sup>3</sup>)

konstanta K (závisí na geometrii uspořádání vzorku)

hustota energie laserového svazku [počet fotonů/s/cm<sup>2</sup>]

diferenciální Ramanův účinný průřez [cm<sup>2</sup> na 1 molekulu v prostorovém úhlu 1 sr]

# Ramanova spektroskopie - možnosti





# Využití Ramanovy spektroskopie

- **doplňuje metodu** infračervené (vibrační) spektroskopie – některé vibrace neaktivní v IČ lze pozorovat v Ramanově spektru; v mnoha případech odpovídá Ramanův posuv vlnočtům čar v IČ spektru, čím vyšší symetrii jeví molekula, tím rozdílnější je průběh IČ a Ramanova spektra
- strukturní analýza (rozlišení polymorfů, velikosti krystalů, kvantitativní analýza směsí účinných a pomocných látek, studium nanočástic)
- analýza znečištění prostředí
- studium vesmíru (atmosféra vesmírných těles, povrch hornin)

# Využití Ramanovy spektroskopie

- studium struktury, konformací a intermolekulárních interakcí **polymerů**, studium složení a prostorové orientace kopolymerů a jejich úseků
- vibrace bočních substituentů polymerů lze snáze identifikovat v IČ spektru, vibrace hlavního uhlíkového řetězce mohou být studovány spíše Ramanovou spektroskopií
- moderní systémy umožňují nedestruktivní studium např. biologických vzorků in vivo
- aplikace v medicíně k identifikaci patogenních mikroorganismů, časnou detekci rakoviny, ke studiu ortopedických implantátů, ke studiu účinnosti farmaceutických výrobků...

# Využití Ramanovy spektroskopie

- vibrační Ramanova spektroskopie není limitována jen na intramolekulární vibrace, je možno sledovat např. vibrace mřížky (fonony)
- rozptýlené záření je polarizováno
- Ramanův rozptyl spojený s dokonale symetrickými vibracemi je silně polarizován rovnoběžně s rovinou polarizace dopadajícího světla
- intenzita čar, odpovídajících neúplně symetrickým vibracím je nižší v rovině kolmé (asi o  $\frac{1}{4}$ ) než intenzita v rovině paralelní s rovinou polarizace dopadajícího světla

# Přednosti Ramanovy spektroskopie ve srovnání s IČ

- metoda rozptylu světla  $\Rightarrow$  **Ize měřit vzorky libovolného tvaru a velikosti bez jakékoli úpravy**
- bez úpravy spektrometru lze měřit i mikroskopické vzorky (jen fokusace laserového svazku)
- pro měření vzdálených vzorků (např. *in vivo*) lze použít spektrometr se světlovody
- lze měřit vzorky ve vodných roztocích
- jedním přístrojem lze měřit i velmi malé posuny vlnočtů v oblasti  $10\text{--}500\text{ cm}^{-1}$
- protože se jedná o rozptyl, není zde limitace saturací jako u absorpčních spektroskopií

# Výběrová pravidla

## IČ

má-li být absorbován foton infračerveného záření, pak vibrace s tím spojená **musí** být provázena **změnou dipólmomentu  $\mu$**

$$\mu = \mu^0 + \left( \frac{\partial \mu}{\partial \mathbf{x}} \right)_{\mathbf{x}=0} \mathbf{x}$$

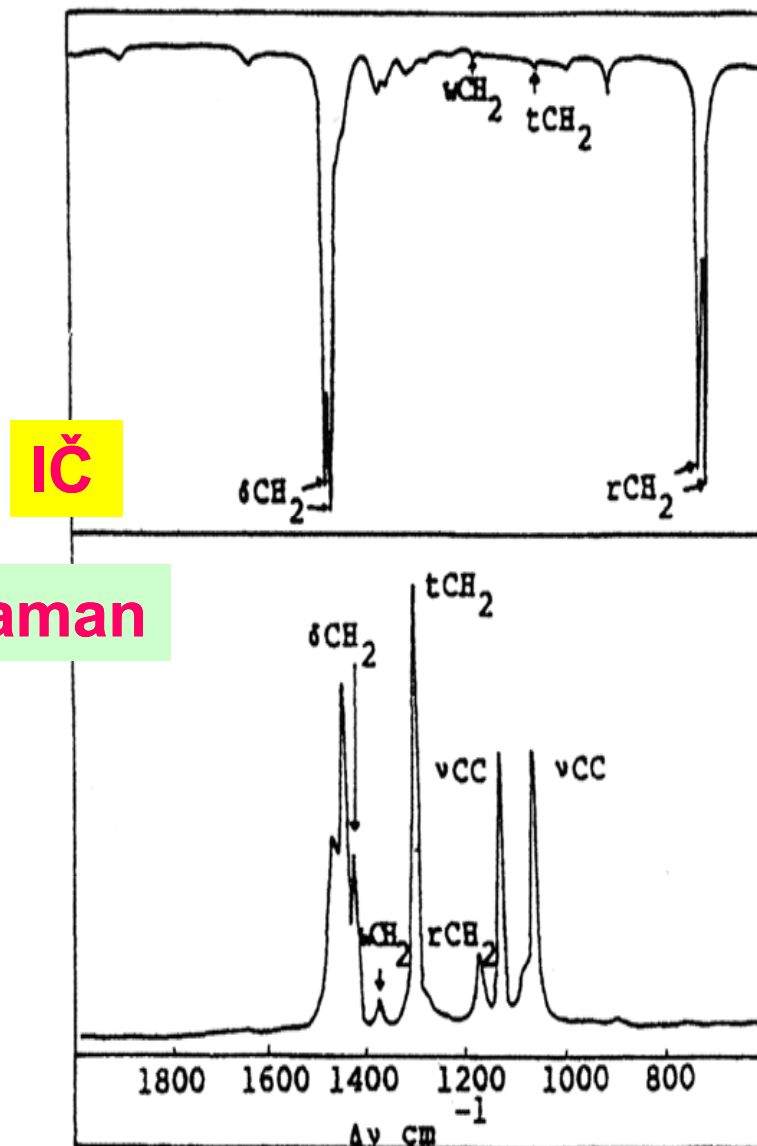
## Raman

nepružný rozptyl závisí na změně indukovaného dipólmomentu  $\mu_{\text{in}}$ , resp. na změně polarizovatelnosti  $\alpha$

$$\mu_{\text{in}} = \alpha \mathbf{E} \quad (1)$$

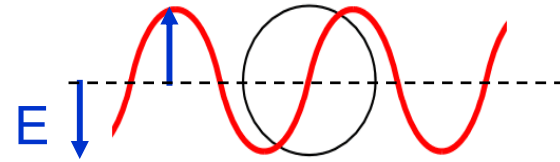
$$\alpha = \alpha_0 + \left( \frac{\partial \alpha}{\partial \mathbf{x}} \right)_{\mathbf{x}=0} \Delta \mathbf{x} \quad (2)$$

# Ramanova a IČ spektra lineárního polyethylenu



molekula PE má střed symetrie  $\Rightarrow$  IČ a Ramanova spektra by měla vykazovat zcela jiné vibrační módy. V IČ spektru jsou nejsilnější módy methylenové skupiny, ale v Ramanově spektru dominují C-C módy.

# Výběrová pravidla Raman



- polarizovatelnost atomu nebo molekuly  $\alpha$  ovlivňuje velikost indukovaného dipólmomentu  $\mu_{in}$  v přítomnosti elektrického pole intenzity  $E$
- polarizovatelnost atomů je isotropní (ve všech směrech stejná), velké atomy mají  $\alpha$  větší než malé atomy
- polarizovatelnost molekul závisí na symetrii molekuly
- v rovnovážné poloze je polarizovatelnost  $\alpha_0$
- koná-li molekula vibrační nebo rotační pohyby, vzdaluje se od rovnovážné polohy a odchylku od této polohy  $\Delta x$  můžeme v čase  $t$  pro harmonické vibrace s frekvencí  $\nu$  a amplitudou vibrací  $x_{max}$  zapsat ve tvaru

$$\Delta x = x_{max} \cos(2\pi\nu t) \quad (3)$$

# Výběrová pravidla Raman

- elektromagnetické záření, které na molekulu dopadá s frekvencí  $\nu_{in}$  indukuje elektrické pole  $E$

$$E = E_{max} \cos(2\pi\nu_{in}t) \quad (4),$$

kde  $E_{max}$  je amplituda elektrické vlny

- dosazením vztahů (2), (3) a (4) do vztahu (1) pro indukovaný dipól dostaneme:

$$\mu_{in} = \alpha_0 E_{max} \cos(2\pi\nu_{in}t) + E_{max} x_{max} \left( \frac{\partial \alpha}{\partial x} \right) \cos(2\pi\nu t) \cos(2\pi\nu_{in}t)$$

$$\cos(2\pi\nu t) \cos(2\pi\nu_{in}t) = \frac{1}{2} [\cos 2\pi t(\nu + \nu_{in}) + \cos 2\pi t(\nu - \nu_{in})]$$



# Výběrová pravidla Raman

$$\mu_{in} = \alpha_0 E_{max} \cos(2\pi\nu_{in} t) + E_{max} x_{max} \left( \frac{\partial \alpha}{\partial x} \right) \cos(2\pi\nu t) \cos(2\pi\nu_{in} t)$$

$$\mu_{in} = \alpha_0 E_{max} \cos(2\pi\nu_{in} t) + \frac{E_{max} x_{max}}{2} \left( \frac{\partial \alpha}{\partial x} \right) [\cos 2\pi t(\nu_{in} + \nu) + \cos 2\pi t(\nu_{in} - \nu)]$$

Rayleighův  
rozptyl

frekvence  
dopadajícího  
záření

Ramanův rozptyl

$\neq 0$

# Porovnání přístrojového vybavení

IČ

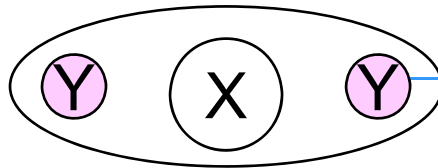
Raman

absolutně černé těleso, laserová dioda	zdroj záření	kontinuální laser emitující záření ve viditelné nebo blízké IČ oblasti
termočlánek, pyroelektrický, bolometr	detektor	fotonásobič
$\approx 0,05 \text{ cm}^{-1}$	rozlišení	$\approx 0,25 \text{ cm}^{-1}$
$180\text{--}4\,000 \text{ cm}^{-1}$ (jeden přístroj)	rozsah vlnočtů	$10\text{--}4\,000 \text{ cm}^{-1}$
kovy, vodné roztoky	omezení ze strany vzorků	barva, fluorescence
kapaliny, plyny a páry	snadno měřitelné vzorky	kapaliny, prášky, monokrystaly, polymery, vlákna
prášky, monokrystaly, polymery	obtížně měřitelné	plyny a páry

# Omezení Ramanovy spektrometrie fluorescencí

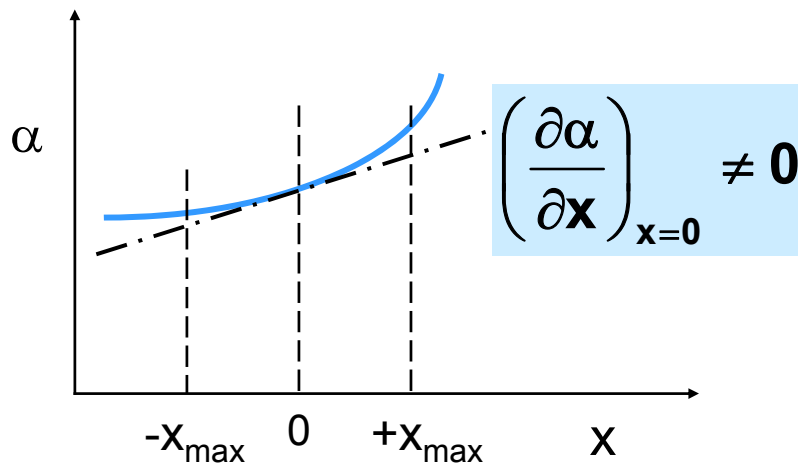
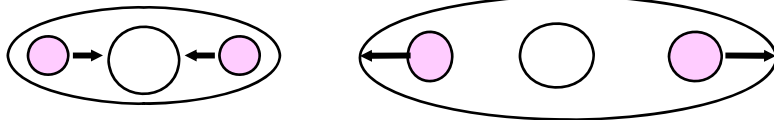
- pokud je dopadající záření **částečně absorbováno**, může docházet k **fluorescenci** nebo **fosforescenci**
- kdyby byly přítomny fluoreskující nečistoty  $1:10^6$  a kvantový výtěžek byl jen 0,1  $\Rightarrow \Rightarrow$   
na 1 Ramanův foton bylo emitováno 10 fluorescenčních fotonů.
- při použití viditelného světla pro excitaci až **95 % polymerů** tak fluoreskuje, že nelze spontánní Ramanovo spektrum měřit
- proto se používá pro excitaci spontánního Ramanova rozptylu dlouhovlnné viditelné nebo NIR záření nebo rezonanční Ramanův rozptyl
- další problém při měření polymerů – vysoká intenzita laseru může způsobit dekompozici polymeru

# Rozdílná citlivost IČ a Ramana



molekula Y-X-Y v rovnovážné poloze

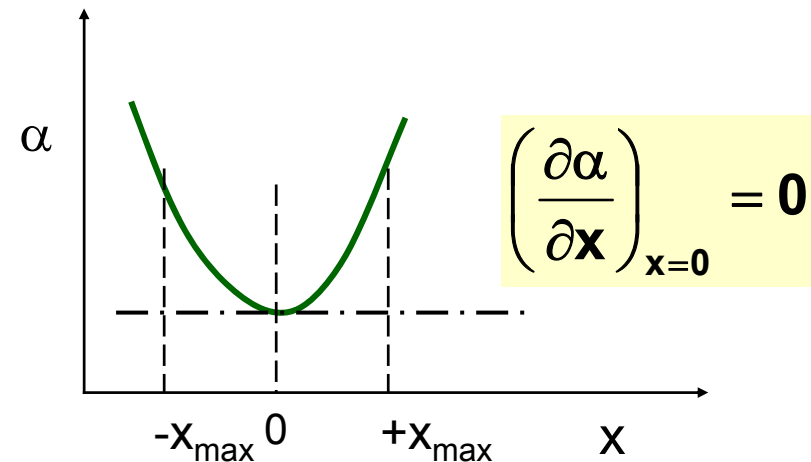
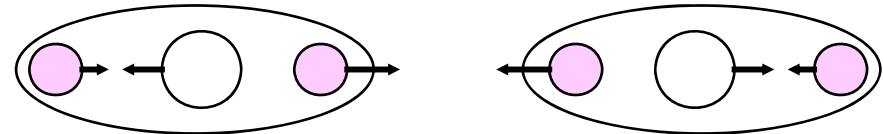
symetrické valenční vibrace



pás v Ramanově spektru

žádný v IČ

antisymetrické valenční vibrace



žádný pás v Ramanově spektru

absorpční pás v IČ

# Ramanovy spektrometry

konvenční jednopaprskové  
(disperzní) Ramanovy spektrometry

spektrometry s optickým plošným  
detektorem („multichannel“)

FT spektrometry vybavené  
interferometrem

# Součásti Ramanova spektrometru

- zdroj záření (laser): velmi intenzivní, monochromatický, lineárně polarizovaný zdroj
- monochromátory
  - holografické mřížky (dvě nebo tři za sebou řazené)
- optický systém
  - odfiltrování Rayleighova rozptylu
  - interferometr
- polarizátory
- prostor pro vzorky (temperace, kryostaty pro měření teplotních závislostí od 325 K do 2,5 K)
- detektor
  - fotonásobič („photon-counting“), CCD plošný detektor nebo kamera

# Standardy

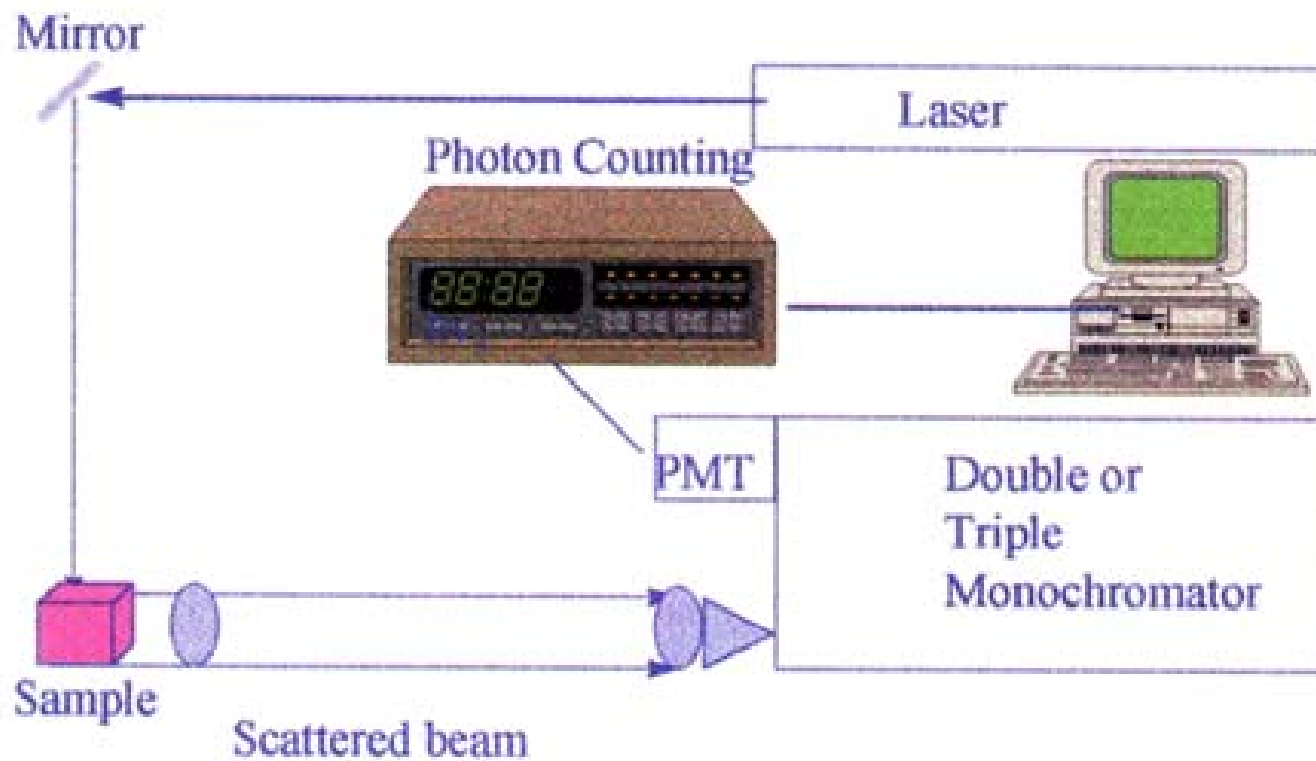
- pro absolutní měření intenzit čar Ramanova spektra v různé spektrální oblasti je nutné provádět kalibraci a korigovat tak vlastní přístrojovou funkci (především u konvenčních spektrometrů) pomocí standardního světelného zdroje, jehož spektrum je přesně kvantitativně definováno
- používá se „NIST-traceable standard lamp“ a luminiscenční skleněný standard

# Lasery v Ramanově spektrometrech

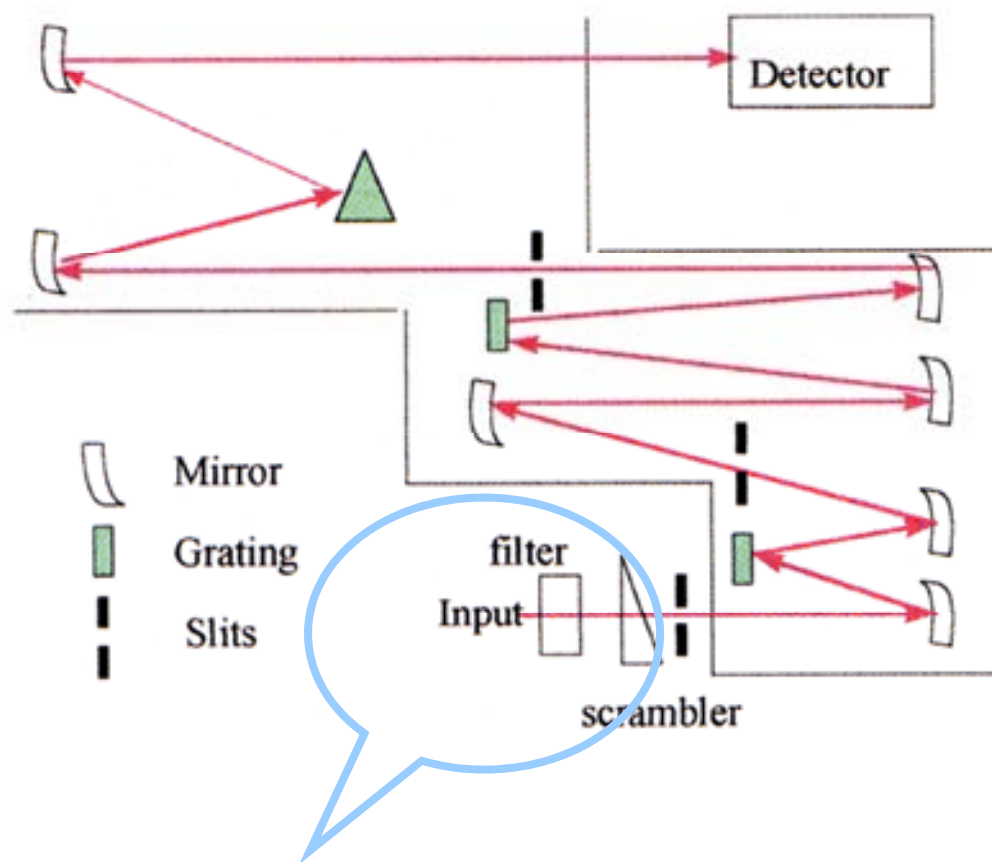
laser	$\lambda$ [nm]	vlnočet [ $\text{cm}^{-1}$ ]	výkon [mW]
Ar-ion	488,0	20 491,8	1 500
	514,5	19 436,3	2 000
Kr-ion	413,1	24 297,2	1 800
	530,9	18 835,9	1 500
	647,1	15 453,6	3 500
Kr-ion (zdvojená frekvence)	206,5	48 426,1	4
	234	42 735,0	8
He-Ne	632,8	15 802,8	50
Nd-YAG	1064	9 398,0	500 000
Ti-sapphire	1300	7 692,3	750
laserová dioda	785	12 740	500
	840	11 900	500



# Konvenční Ramanův spektrometr

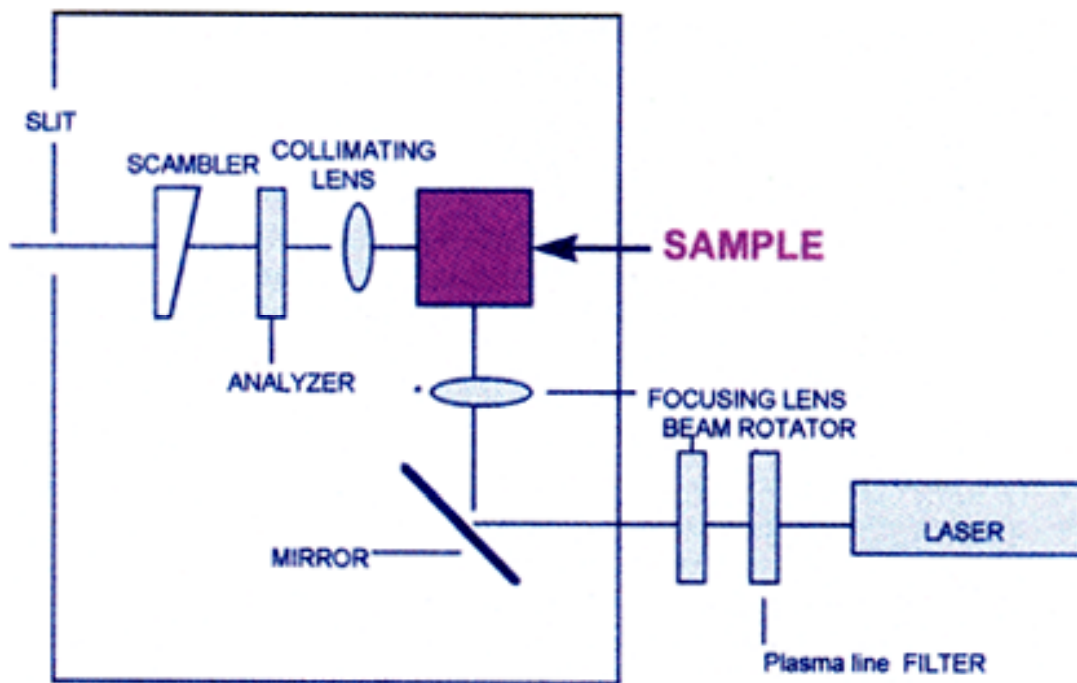


# Monochromátor Ramanova spektrometru

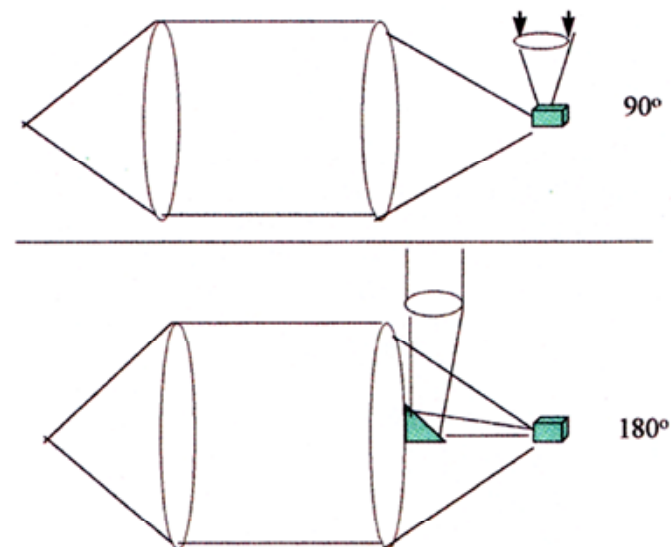


odstranění excitační  
frekvence  $\pm 30 \text{ cm}^{-1}$

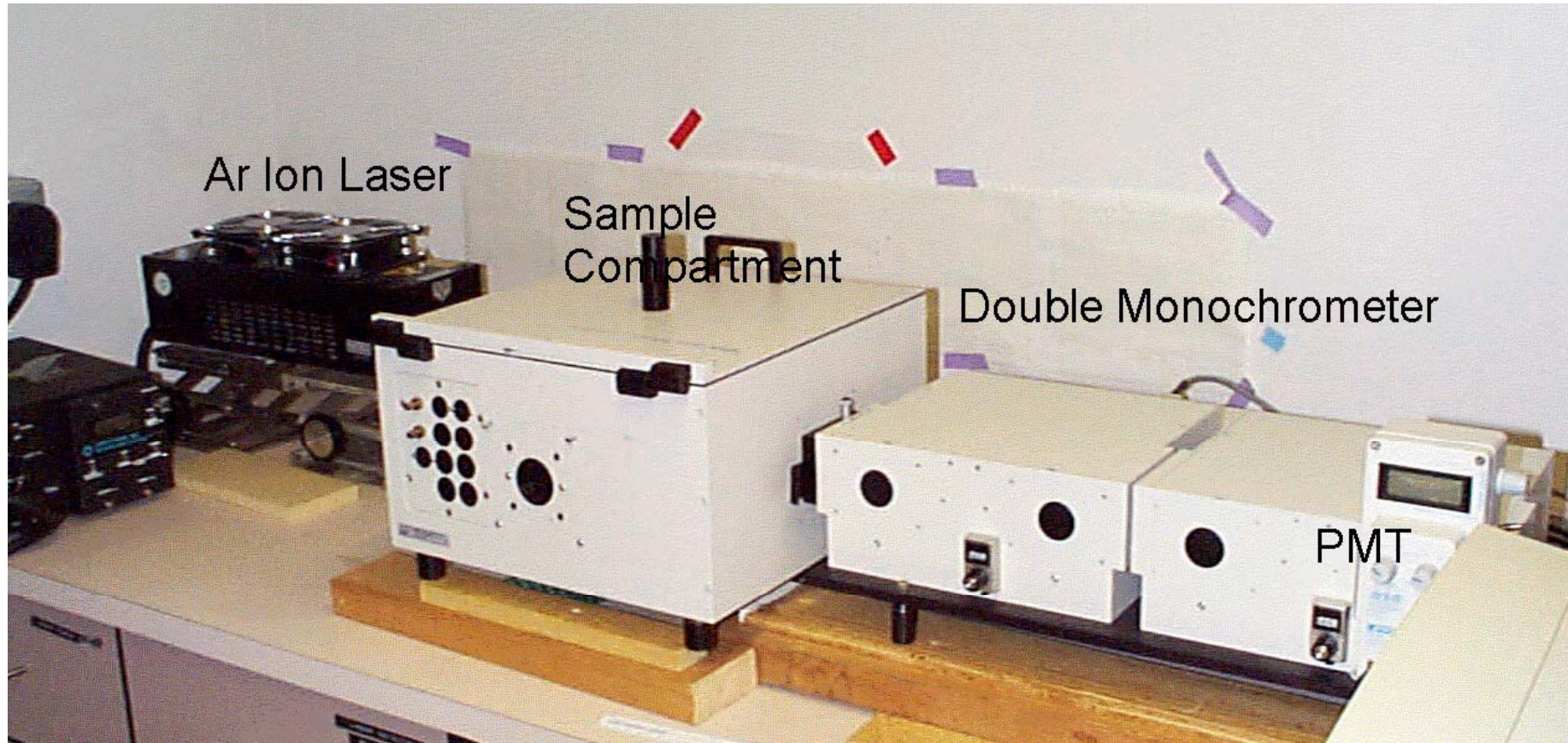
# Optické schéma prostoru pro vzorek



systemy osvětlení  
vzorku

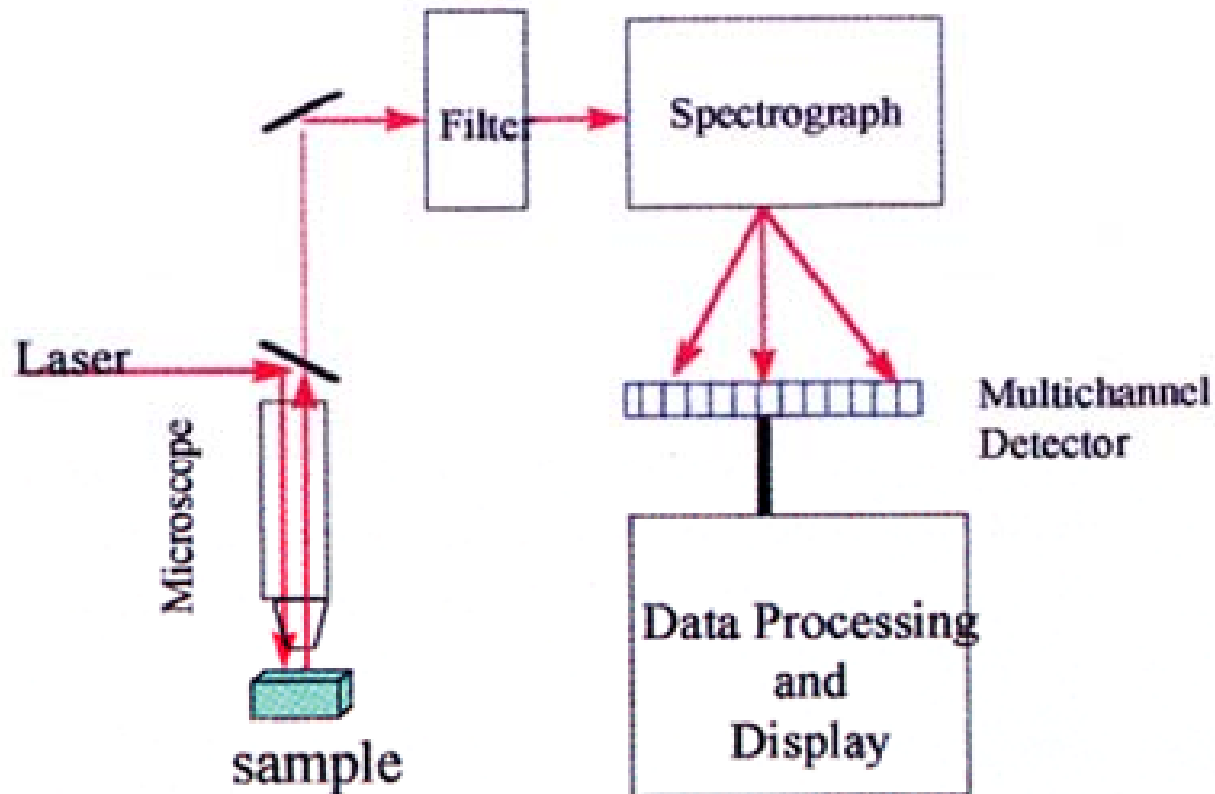


# Konvenční Ramanův spektrometr



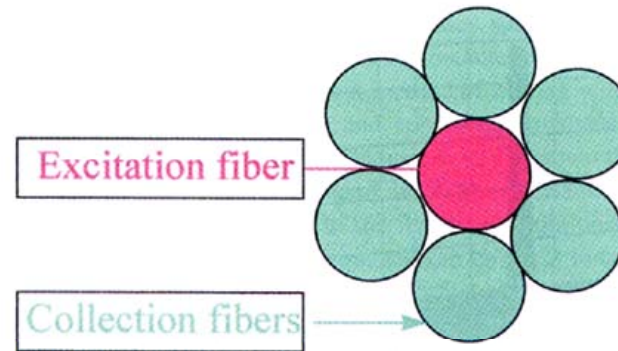
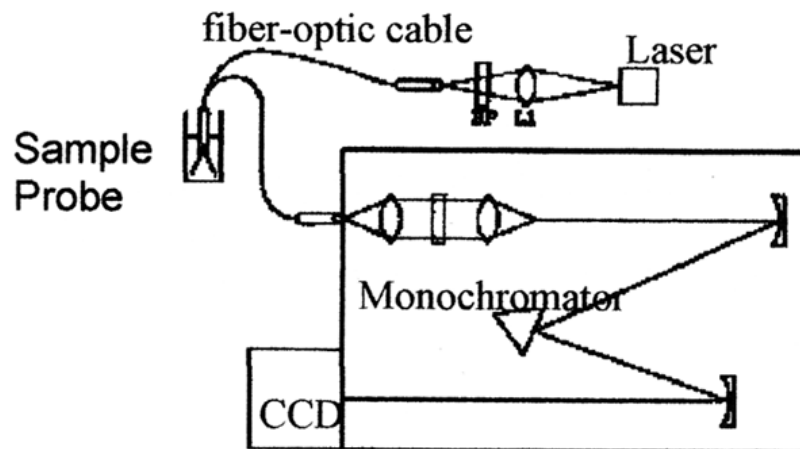
Ar-ion laser: vlnová délka 488 nm

# „Optical multichannel“ Ramanův spektrometr

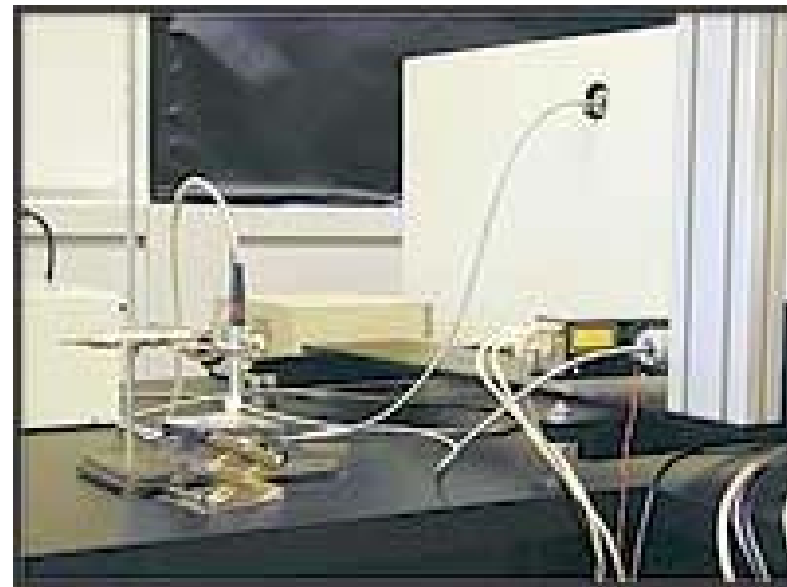


záznam spektra 10 až 200x rychleji, nevýhodou je omezený rozsah vlnočtů najednou snímatelný

# Schéma přenosného vláknového RS

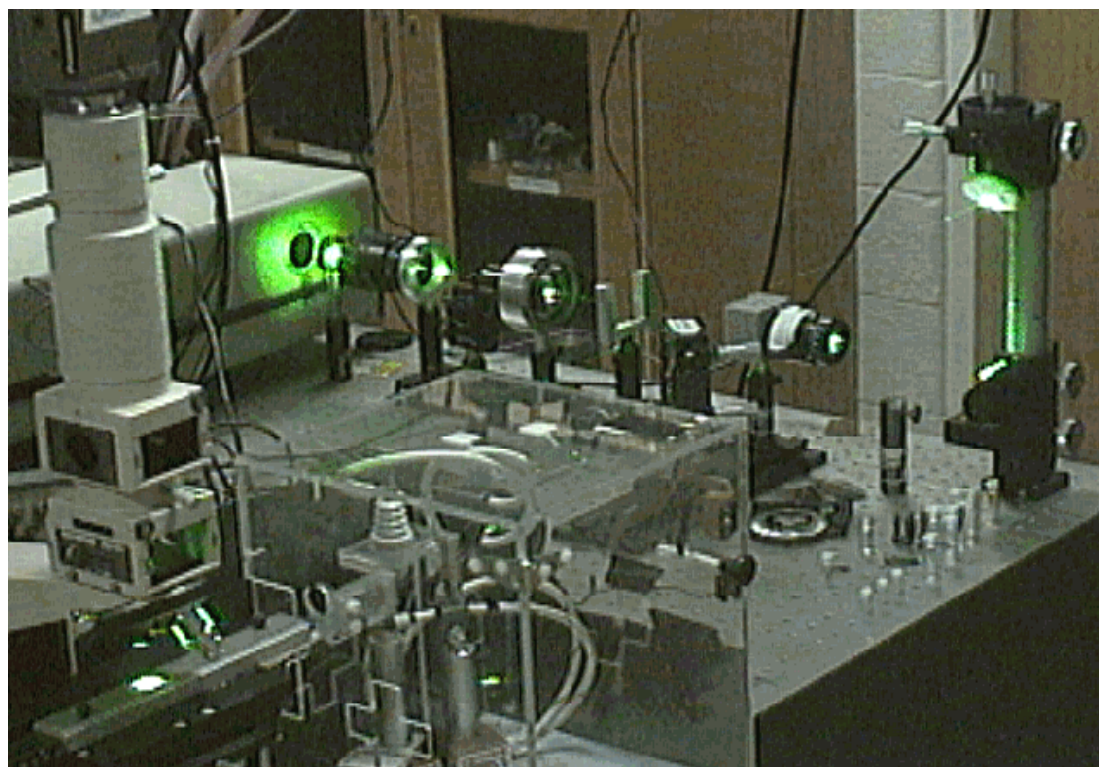
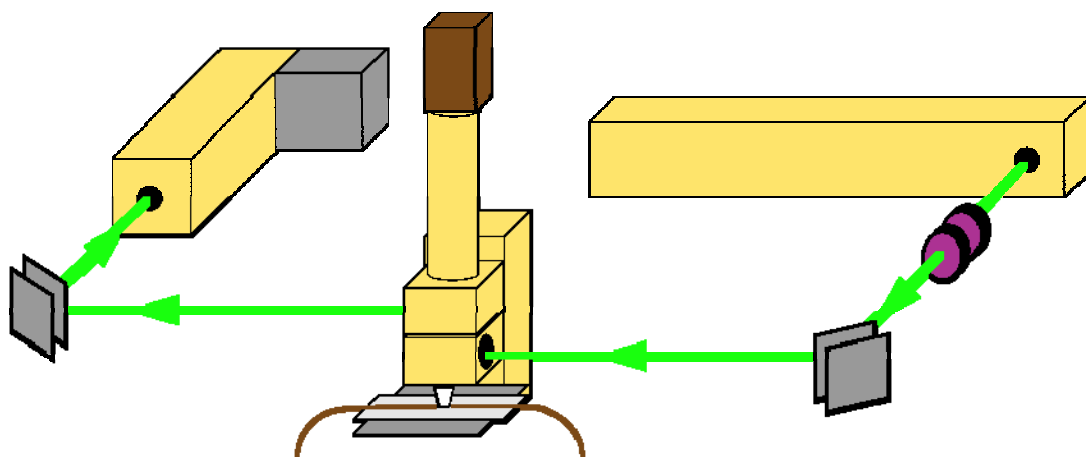


možnost studia vzorků *in vivo*  
„biomedical“ aplikace,  
buněčné vzorky, excitace  
NIR, 785 nebo 830 nm aby  
se minimalizoval možný vliv  
fluorescence

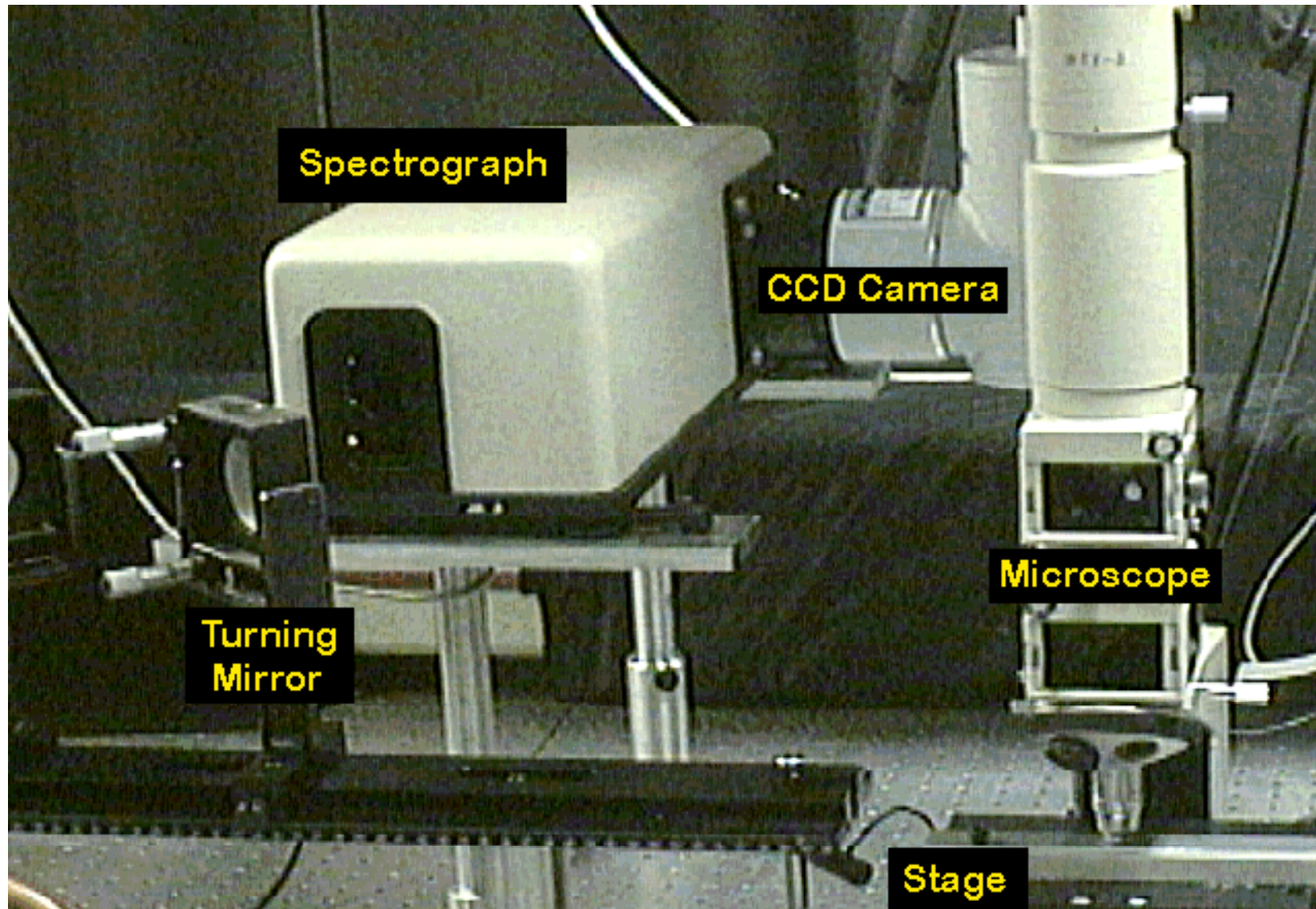




# Ramanův mikrospektrometr

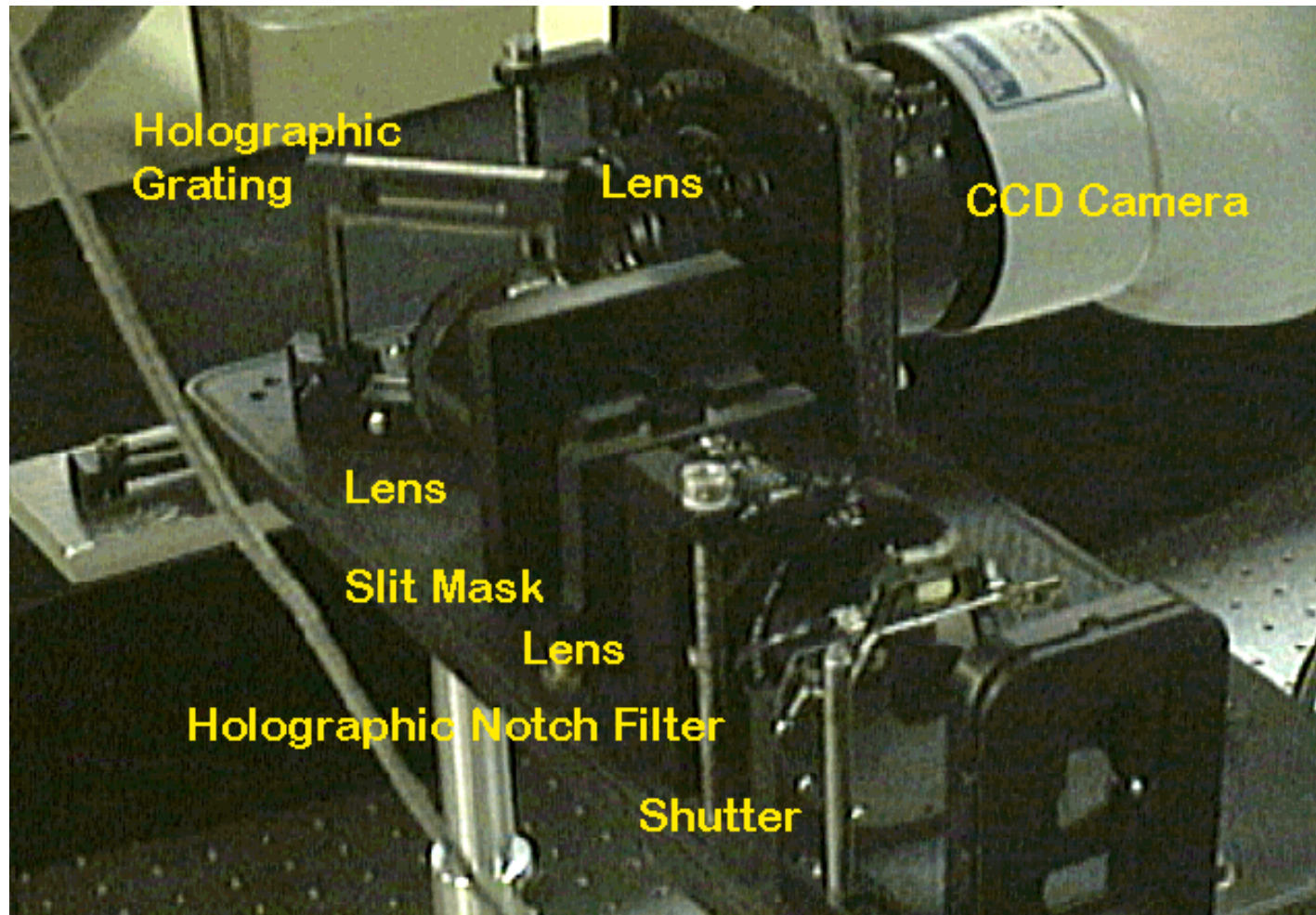


# Ramanův mikrospektrometr

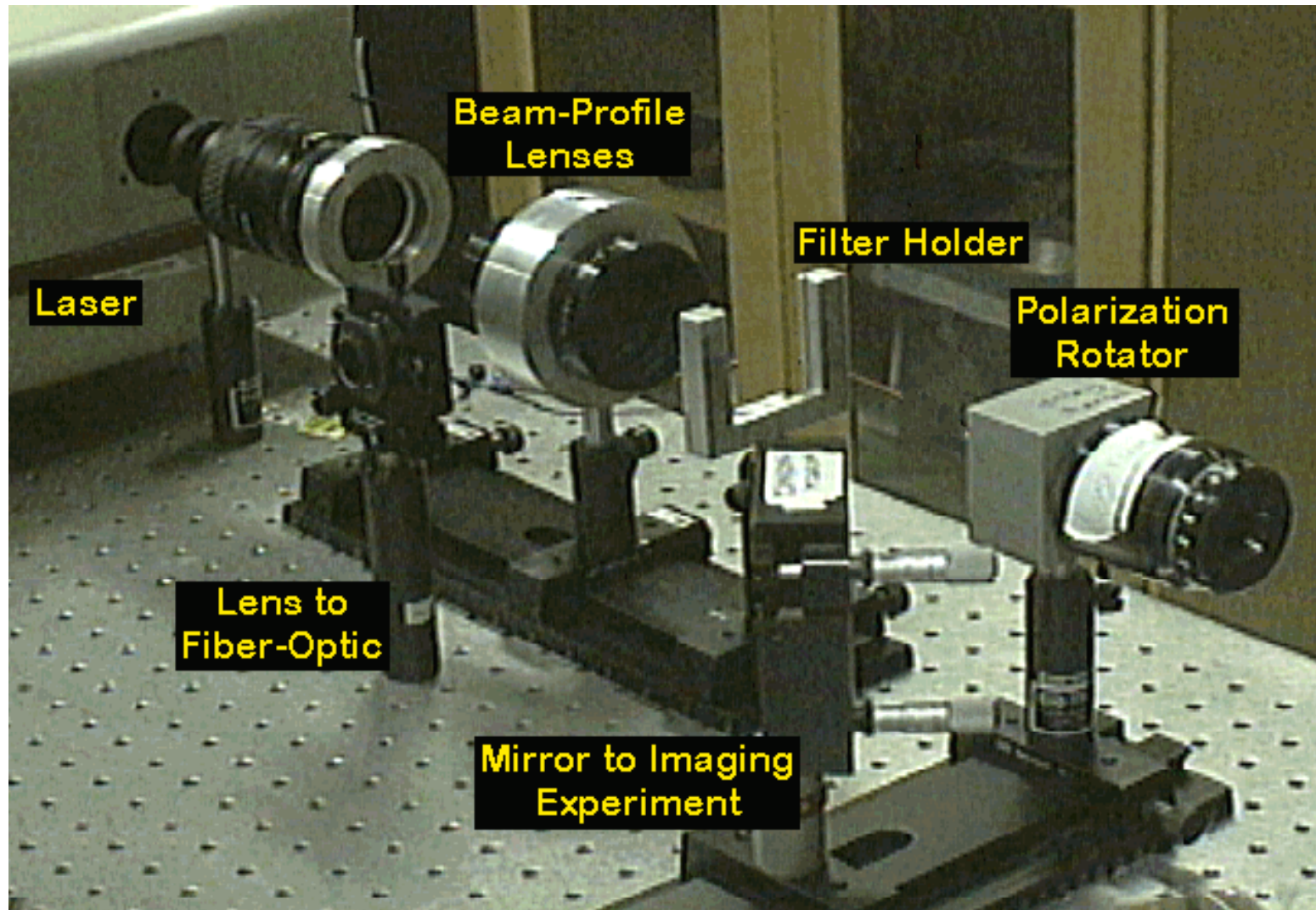




# Ramanův mikrospektrometr

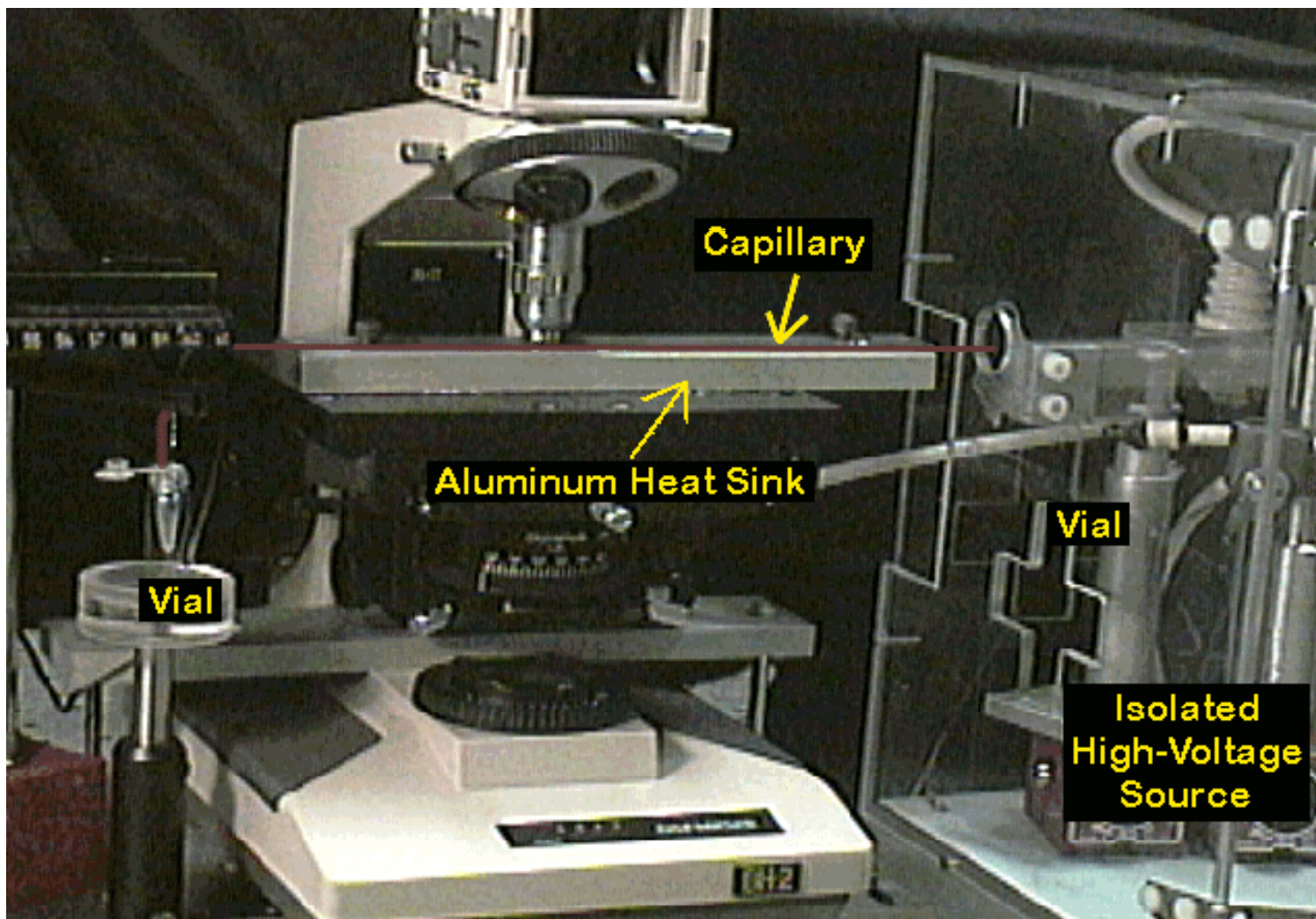


# Ramanův mikrospektrometr – optická část

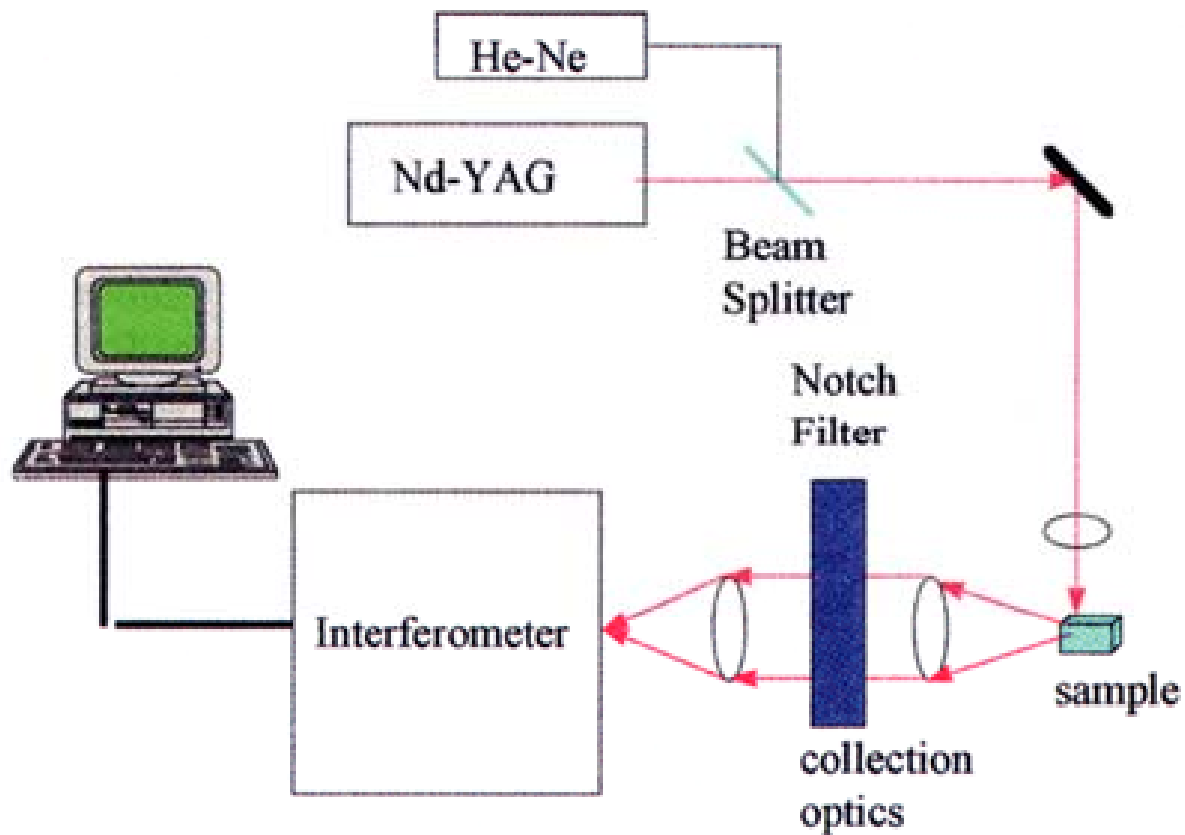




# Ramanův mikrospektrometr – dílčí pohled

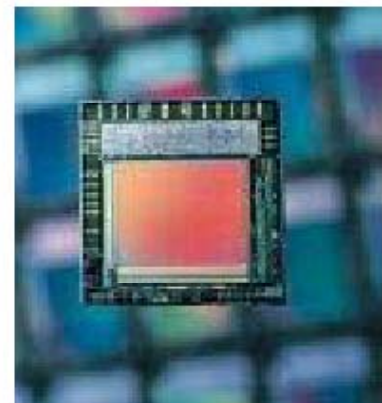
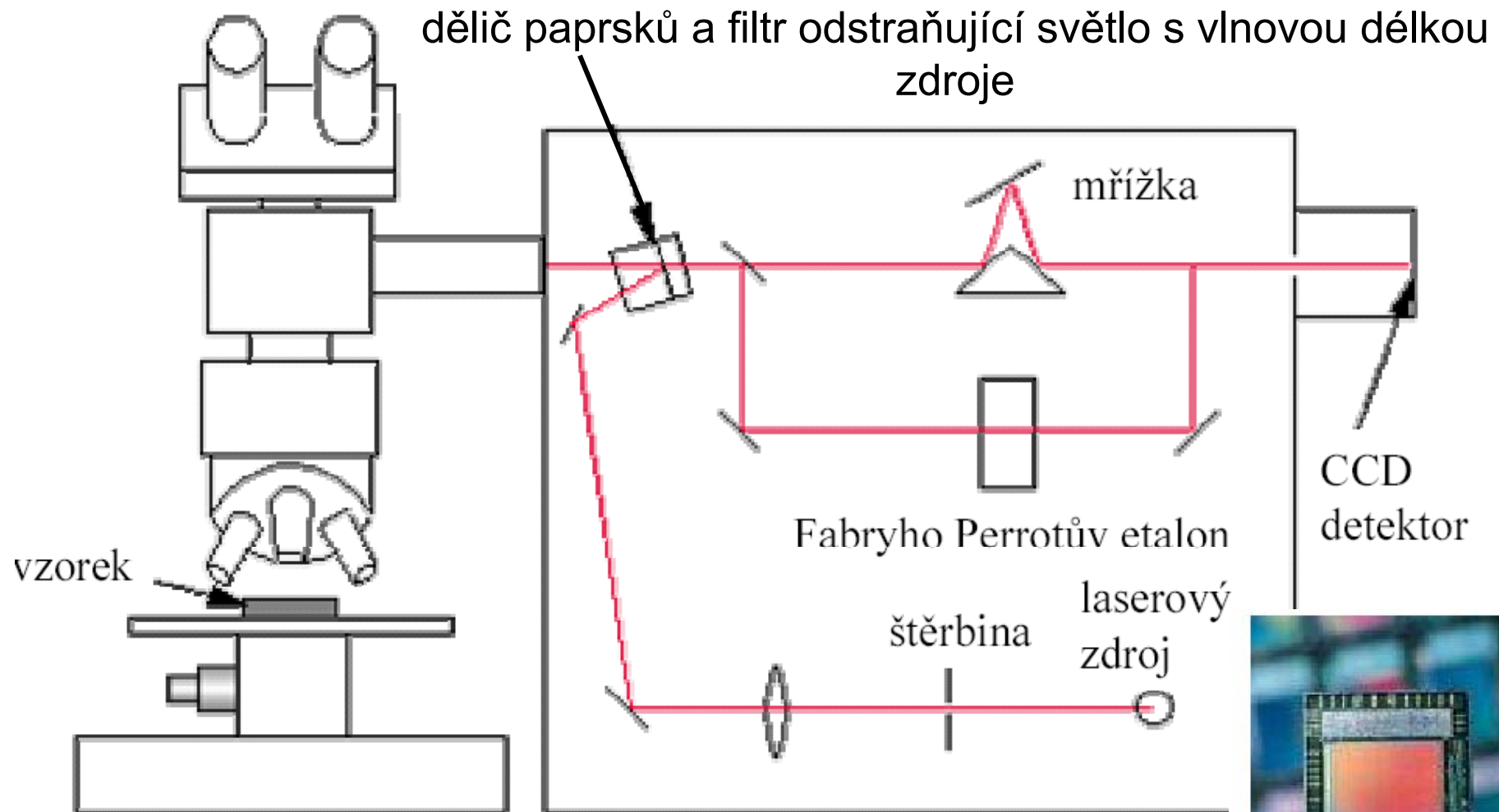


# Optické schéma FT Ramanova spektrometru



dobře eliminuje fluorescenci, Nd:YAG  
1064 nm, „notch“ filtr pro odstranění  
Rayleighova rozptylu

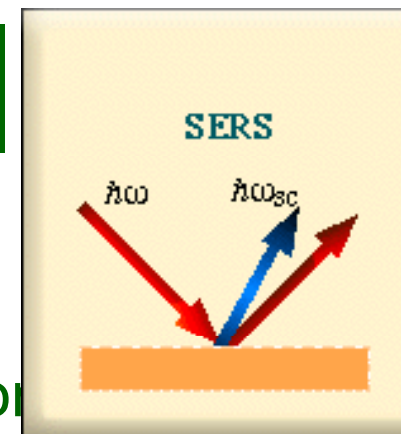
# FT Ramanův mikrospektrometr



# Rezonanční Ramanova spektroskopie

- je-li vlnová délka excitujícího záření blízká vlnové délce absorpčního pásu molekuly, dochází k tzv. **rezonančnímu (stimulovanému) Ramanovu efektu**, který způsobí zvýšení intenzity Ramanova rozptylu až o 6 řádů
- metoda se používá pro analýzu látek absorbujících viditelné záření nebo NIR, např. metaloporfyrinů, karotenoidů, biochemických látek, polymerů
- vibrace, jejichž pásy RRS zesílí se dělí na
  - Franck-Condonovo zesílení
  - „ring breathing“
  - „vibronic enhancement“

# Surface-Enhanced Raman Scattering



- Ramanův rozptyl sloučenin nebo iontů adsorbovaných na povrchu nebo těsně pod povrchem metalické podložky může být  $10^3$  až  $10^6$  krát intenzivnější než rozptyl těchto látek v roztoku
- zesílení tímto jevem je nejsilnější, je-li podložkou stříbro, ale je dobře pozorovatelný i na zlatě nebo mědi
- molekuly s izolovaným párem elektronů nebo delokalizovanými  $\pi$  jeví nejsilnější SERS. Jev byl objeven na pyridinu; látky s karboxylovou skupinou jsou pro tuto metodu nejcitlivější

# SERS

- intenzita závisí na morfologii kovu na povrchu
- vlnová délka odpovídající přechodu kovů do plasmatického stavu („plasma wavelength of the metal surface“) je 382 nm pro částice Ag velikosti asi 5 mikrometrů, ale může být až 600 nm pro větší elipsoidální částice stříbra. Pro Cu a Au je tato vlnová délka asi 650 nm. Nejlepších výsledků je dosahováno pro částice kovu menší než 100 nm nebo atomárně hladký povrch podložky.
- tato metoda umožňuje sledovat Ramanova spektra vzorků mikromolárních koncentrací



# Vysvětlení zesílení intenzity při SERS

dva mechanismy

zesílení elektromagnetického pole na povrchu kovu

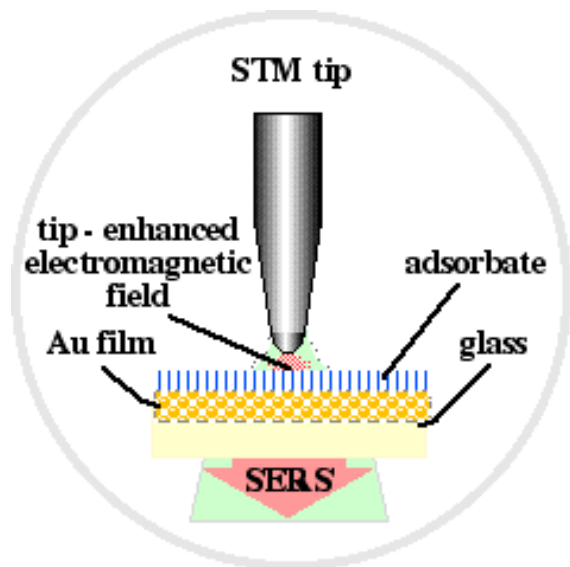
Je-li vlnová délka laseru blízká vln. délce plasmatu kovu, vodivostní elektrony na povrchu kovu jsou excitovány do stavu „surface plasmon resonance“. Molekuly zkoumané látky adsorbované v jejich blízkosti jsou ovlivněny mimořádně silným elektromagnetickým polem.

vytvoření charge-transfer komplexu mezi kovem na povrchu a analyzovanou molekulou

Elektronické přechody mnoha CT komplexů jsou ve viditelné oblasti spektra a tak se vlastně posílí rezonanční Ramanův rozptyl

# TERS - Tip Enhanced Raman Spectroscopy

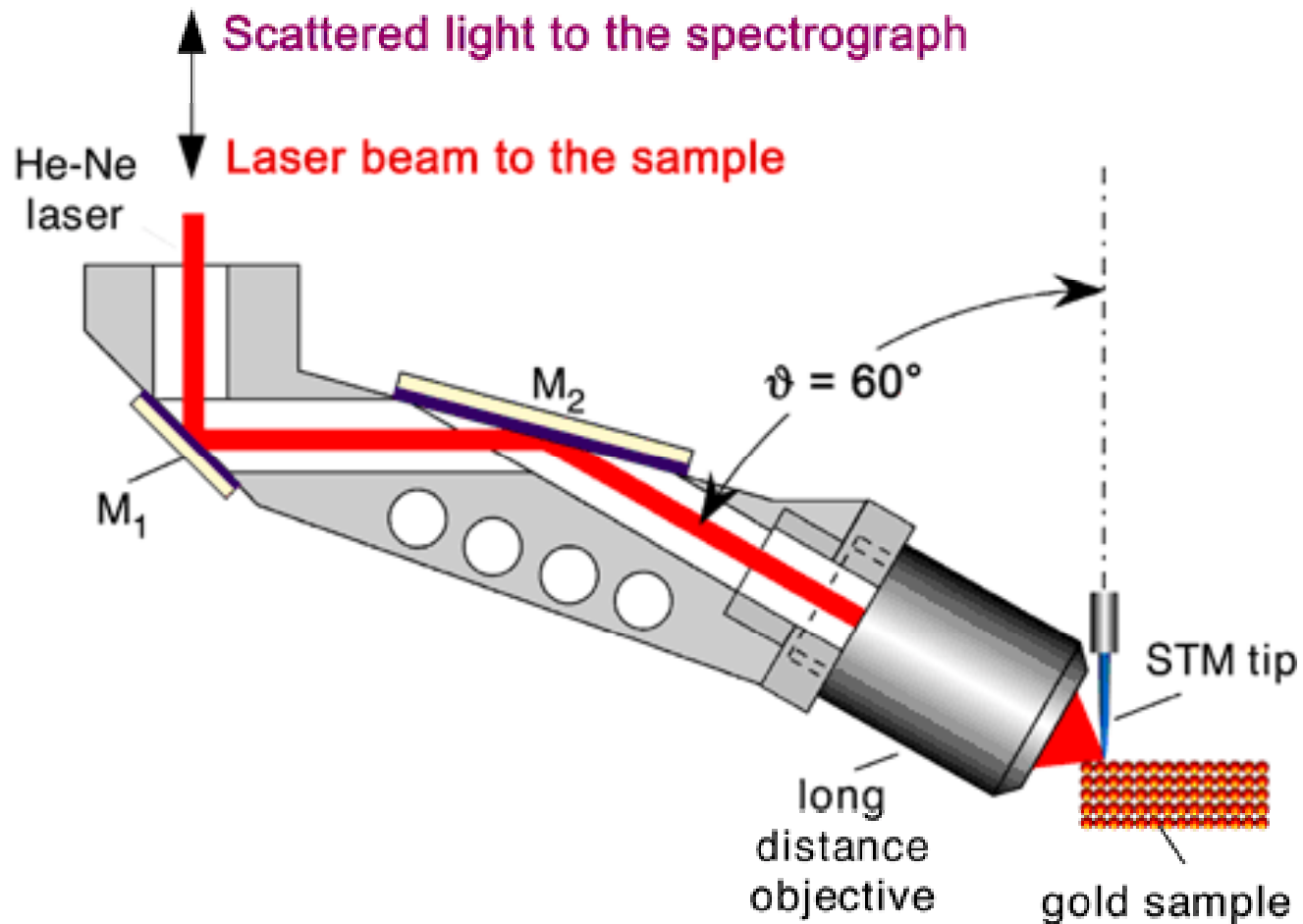
modifikace metody SERS na hladké kovové podložce  
použitím hrotu k enormnímu lokálnímu zesílení  
elektromagnetického pole v blízkosti vzorku



zesílení až  $10^7$  krát

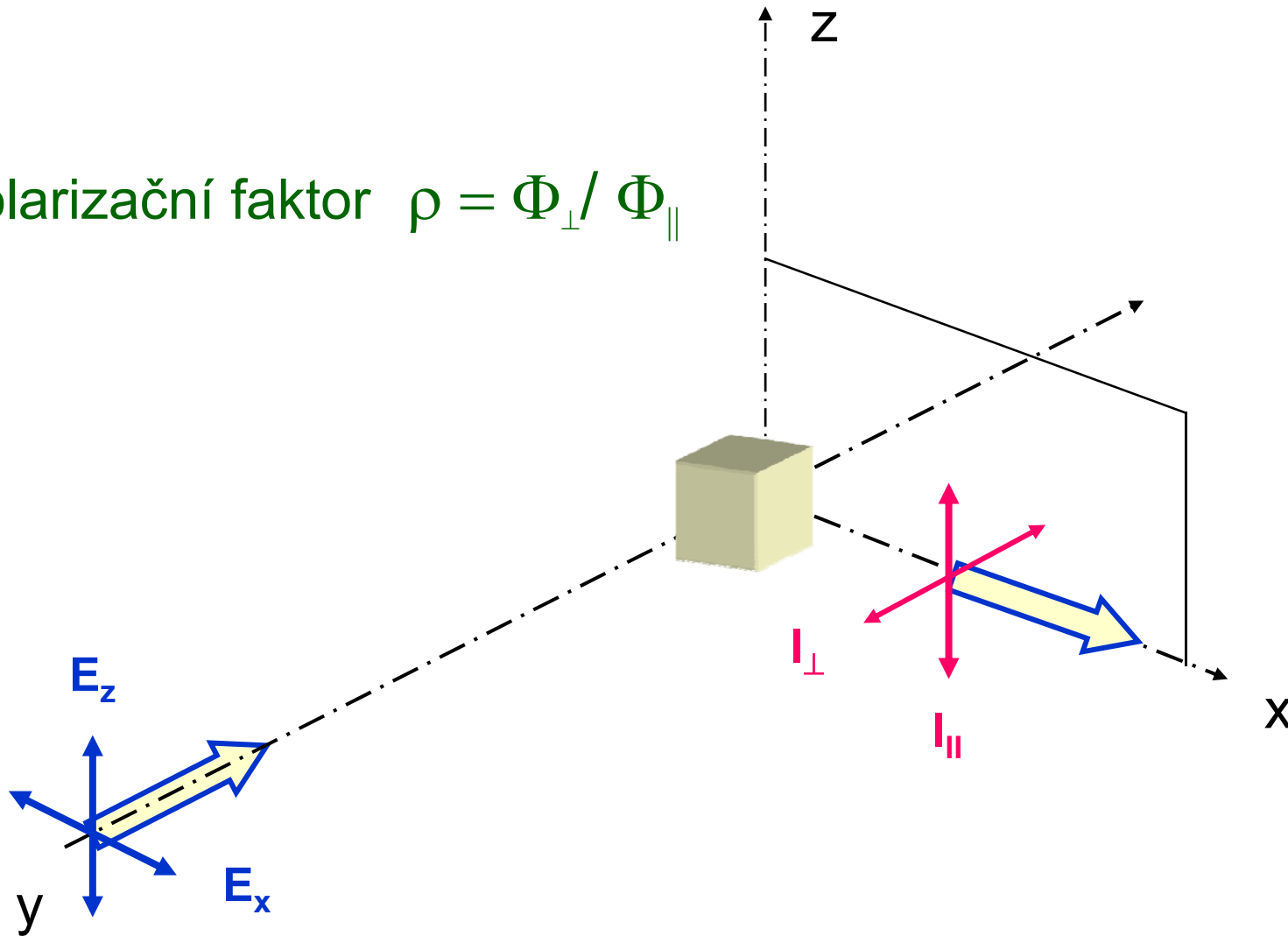
možnost tzv. „single molecule  
Raman Spectroscopy“

# TERS - Tip Enhanced Raman Spectroscopy



# Depolarizace Ramanových spekter

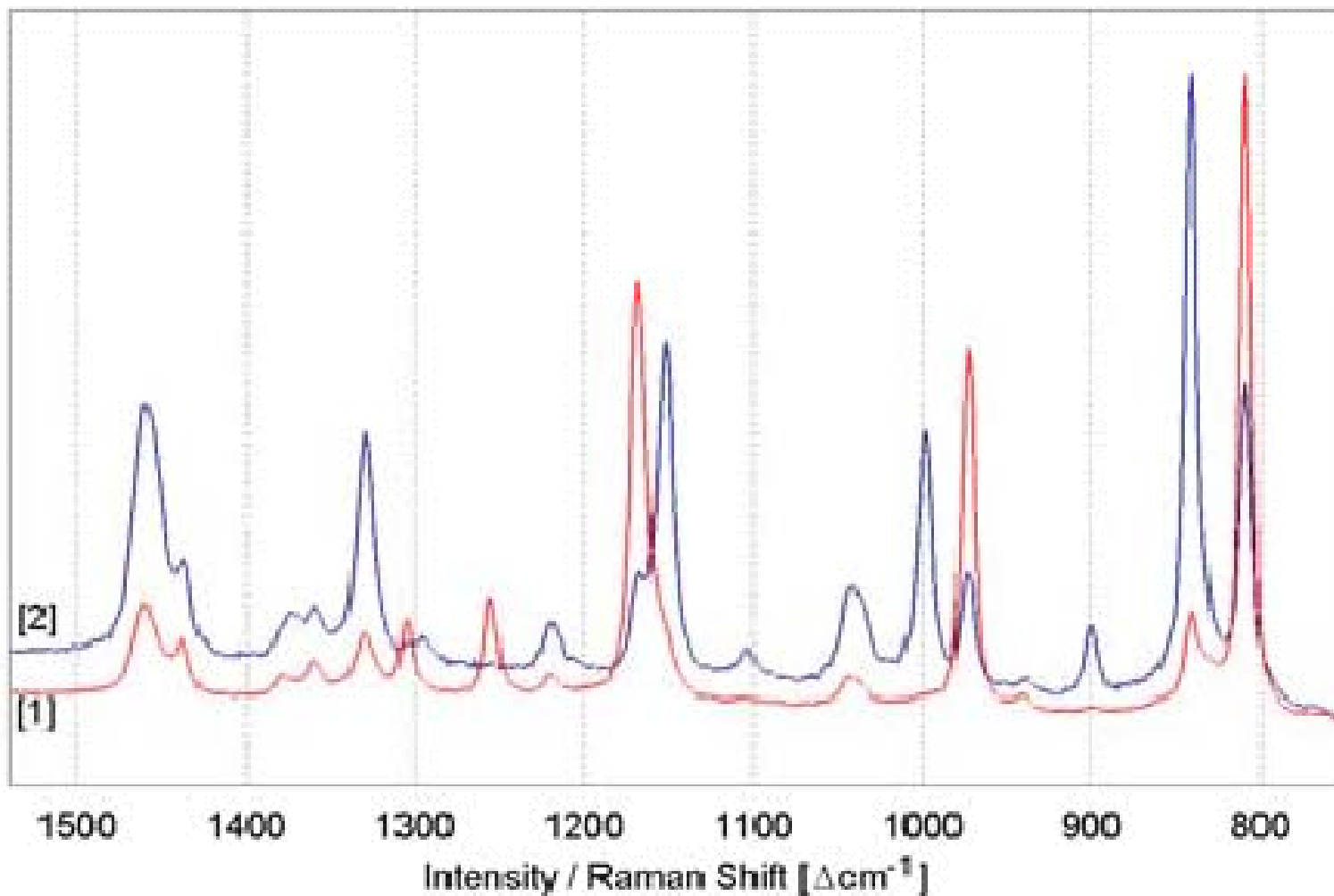
depolarizační faktor  $\rho = \Phi_{\perp} / \Phi_{\parallel}$



# Depolarizace Ramanových spekter

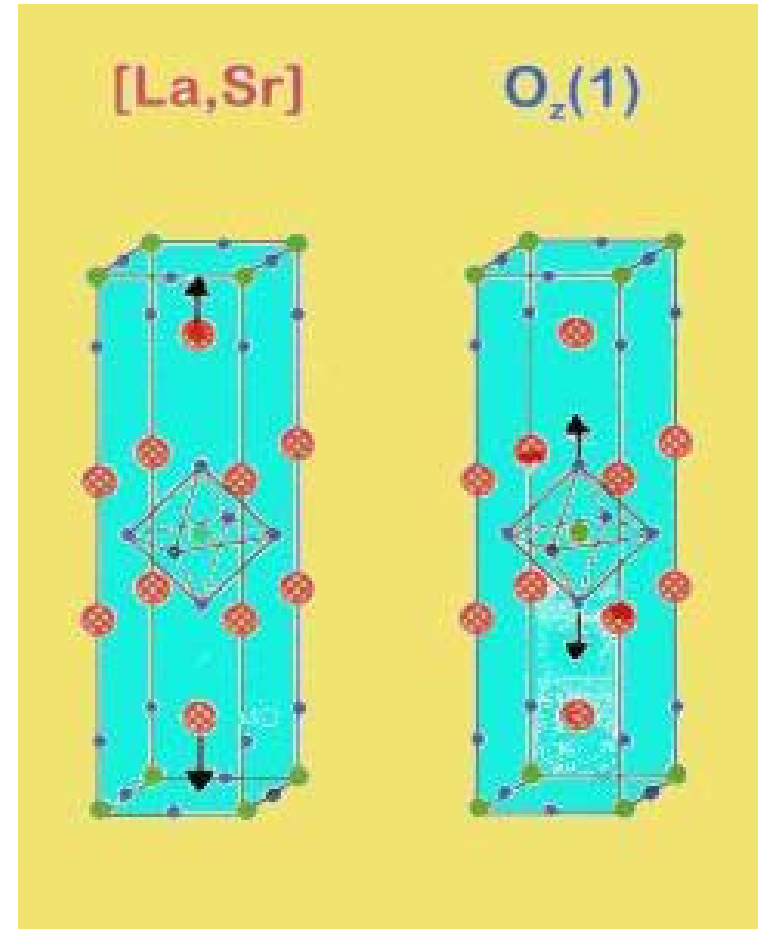
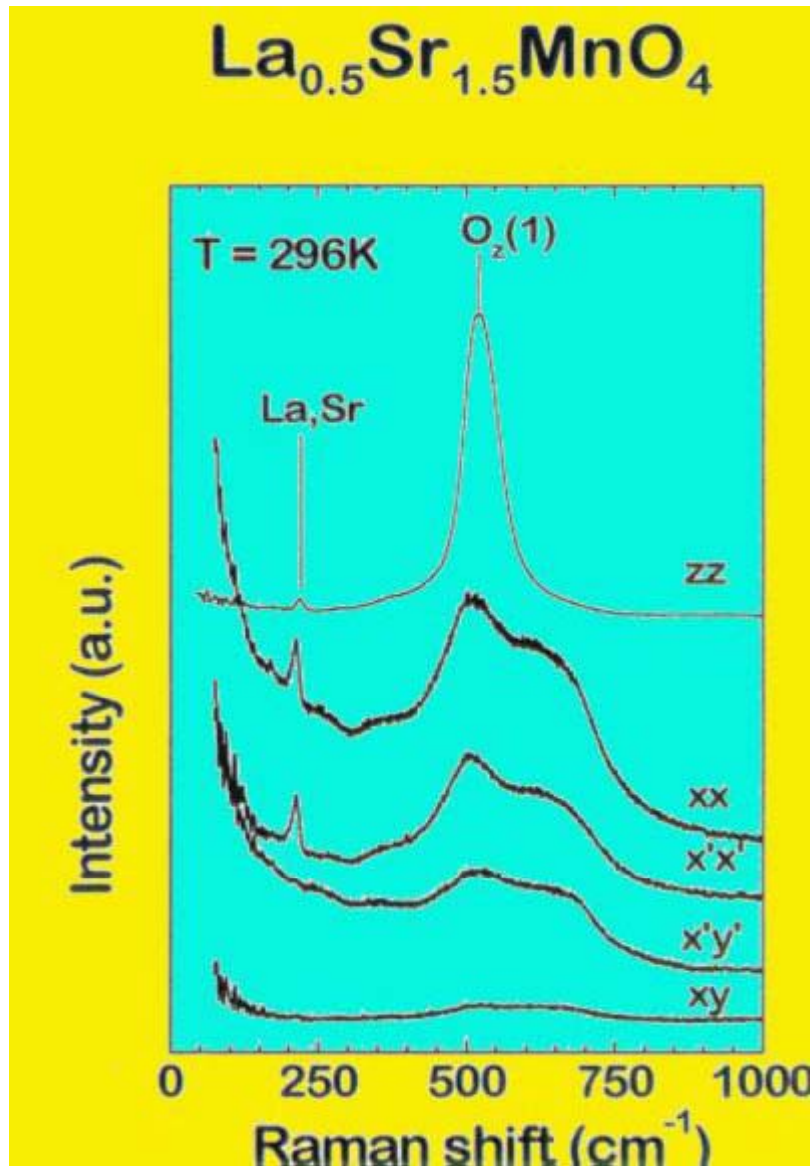
- pro nepolarizovanou excitaci  $\rho_n$  , pro lineárně polarizované excitující záření  $\rho_l$
- nesymetrické vibrace:  $\rho_n = 6/7$                        $\rho_l = 0,75$
- symetrické vibrace:     $0 < \rho_n < 6/7$                        $0 < \rho_l < 0,75$
- plně polarizované Ramanovy linie  $\rho = 0$
- částečně polarizované Ramanovy linie  $0 < \rho < \rho_{\max}$
- depolarizované Ramanovy linie,  $\rho = \rho_{\max}$

# Studium vysoce orientovaných PP vláken



vlákna orientována rovnoběžně (1) a kolmo (2) vzhledem k polarizaci laserového paprsku (He-Ne laser)

# Ramanův rozptyl na krystalických vzorcích



monokrystaly

# Ramanův rozptyl na krystalických vzorcích

Část FT-Ramanových spekter vzorků ketoprofenu lišících se velikostí krystalů

